

Изменения оптических свойств листьев бобов при формировании их фотосинтетического аппарата

© О.А. Калмацкая, А.В. Михалькова, И.С. Сусличенко, В.А. Караваев, А.Н. Тихонов

Московский государственный университет имени М.В. Ломоносова,
Москва, Россия

e-mail: kalmackaya@physics.msu.ru

Поступила в редакцию 28.11.2024 г.

В окончательной редакции 10.01.2025 г.

Принята к публикации 07.04.2025 г.

В настоящей работе изучены оптические характеристики листьев бобов (*Vicia faba* L., сорт „Русские черные“), отражающие функциональные свойства фотосинтетического аппарата (ФСА) хлоропластов. О функционировании ФСА судили по кинетике возбуждения флуоресценции хлорофилла *a* и по светоиндцированным изменениям поглощения света, отражающим редокс-превращения фотопротоцентров фотосистемы 1 (P_{700}). Проведено сравнение оптических свойств листьев контрольных образцов (растений, выращенные при умеренной интенсивности света (2000–3000 lx) и этиолированных листьев растений, культивированных при низкой освещенности (5–10 lx). По флуоресценции хлорофилла *a* и изменениям состояния P_{700} мы следили за формированием фотосинтетического аппарата хлоропластов в ходе освещения этиолированных листьев. Показано, что формирование активных хлоропластов в листьях этиолированных растений происходит через 2–3 суток после их освещения интенсивным светом. Важной особенностью использованных нами методов диагностики ФСА является то, что эти методы являются неинвазивными и не требуют выделения хлоропластов (или их компонентов). Таким образом, инструментальными средствами по оптическим свойствам листьев можно осуществлять неинвазивный мониторинг ФСА растений *in situ* на различных стадиях культивирования растений.

Ключевые слова: фотосинтетический аппарат растений, флуоресценция хлорофилла, электронный транспорт.

DOI: 10.61011/OS.2025.05.60789.26-25

Введение

Деэтиоляция листьев растений (или переход от роста в темноте к фотоморфогенезу) — один из самых сложных этапов онтогенеза растений. Существенную роль в этом процессе играют фитогормоны и свет [1,2]. В ходе деэтиоляции синтезируется хлорофилл — важнейший пигмент фотосинтеза и формируется фотосинтетический аппарат [3,4]. Наряду с увеличением содержания хлорофилла возрастает фотосинтетическая активность растений [5,6]. В этот период онтогенеза формируются регуляторные механизмы, обеспечивающие оптимальную работу двух фотосистем растений и в конечном итоге всего фотосинтетического аппарата [7,8]. Изучение этих регуляторных механизмов — важная и актуальная задача физиологии растений и биофизики фотосинтеза. В настоящей работе проростки бобов *Vicia faba* L. выращивали в условиях затенения, а затем переносили в условия интенсивного естественного освещения. В течение одной недели после такого переноса регистрировали содержание хлорофилла, флуоресцентные характеристики зеленеющих листьев, а также кинетические кривые фотоиндуцированных редокс-превращений реакционных центров фотосистемы 1.

Флуоресцентные показатели фотосинтезирующих объектов зависят от широкого круга биотических и абиотических факторов, они позволяют следить за изменениями

структурно-функциональной организации фотосинтетического аппарата (ФСА) растений [9–12]. Особый интерес представляют индуцированные изменения параметров флуоресценции, регистрируемые с использованием широко распространенных в настоящее время импульсных флуорометров, позволяющих определять ряд важных, с точки зрения функционирования ФСА, показателей [13,14]. Регистрация кинетики изменений состояния P_{700} при действии света различного спектрального состава позволяет изучать особенности совместного функционирования фотосистем 1 и 2 [15,16]. Предполагалось, что использование отмеченных спектроскопических методов исследования позволит получить дополнительную информацию об особенностях формирования фотосинтетического аппарата растений в процессе деэтиоляции.

1. Объекты и методы

Объектами исследований служили проростки бобов *Vicia faba* L. сорта „Русские черные“. Растения выращивали в пакетах с землей объемом 0.5 L при температуре 25°C в лабораторных условиях при разной освещенности: один вариант — в условиях затенения при освещенности 5–10 lx (опытные растения), а другой — при освещенности 2000–3000 lx (контрольные растения).

Длительность освещения растений естественным светом составляла 15 h в сутки. Освещенность измеряли в дневное время суток при помощи портативного цифрового люксметра Mastech MS6610. После трех недель выращивания опытные растения переносили в условия повышенной освещенности. Непосредственно перед переносом, а также ежедневно в течение последующей недели измеряли содержание хлорофилла, флуоресцентные показатели листьев контрольных и опытных растений, а также кинетику светоиндуцированного окисления реакционных центров P_{700} .

Кинетику изменений выхода флуоресценции хлорофилла a в листьях бобов измеряли с помощью импульсного флуорометра PAM-2500 (фирма Вальц, Германия). Лист, не отрывая от стебля, помещали в прибор и выдерживали в темноте в течение 5 min перед началом измерений. Протокол измерений интенсивности флуоресценции показан на рис. 1. Флуоресценцию возбуждали импульсным измерительным светом ($\lambda = 630 \text{ nm}$, $\Delta\lambda = 5 \text{ nm}$, $I = 10 \mu\text{E}/(\text{m}^2\text{s})$); сразу после включения „измерительного“ света определяли исходный уровень флуоресценции F_0 . Измерительный свет представляет собой милисекундные (5 ms) вспышки низкой интенсивности ($I = 10 \mu\text{E}/(\text{m}^2\text{s})$), подаваемой в периодических паузах, когда выключался более сильный свет „действующий“ свет (actinic light), интенсивность которого заметно превышала интенсивность измерительного света. ($I = 500 \mu\text{E}/(\text{m}^2\text{s})$). Суть такого стандартного протокола освещения образцов заключается в том, что „действующий“ свет используется для светоиндуцированного изменения состояния фотосинтетического аппарата растений, а во время кратковременных темновых пауз, когда не действовал „актиничный“ свет, проводили измерения флуоресценции в ответ на вспышки „измерительного“ света. Низкая интенсивность измерительного света практически не вносит изменения в состояние фотосинтетического аппарата.

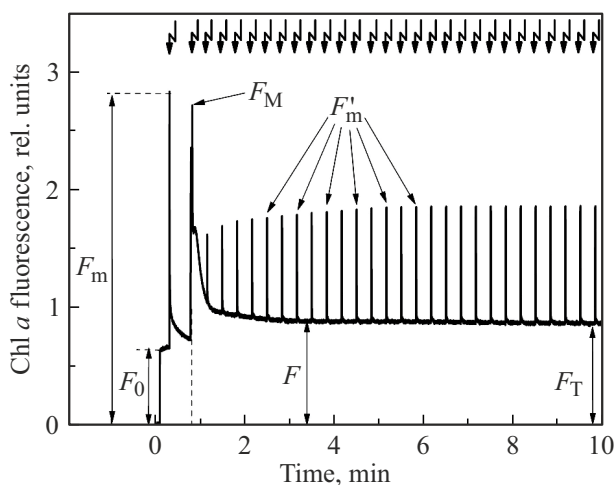


Рис. 1. Протокол измерений флуоресценции с помощью PAM-флуорометра. Зигзагообразными стрелками указаны моменты включения насыщающих вспышек света.

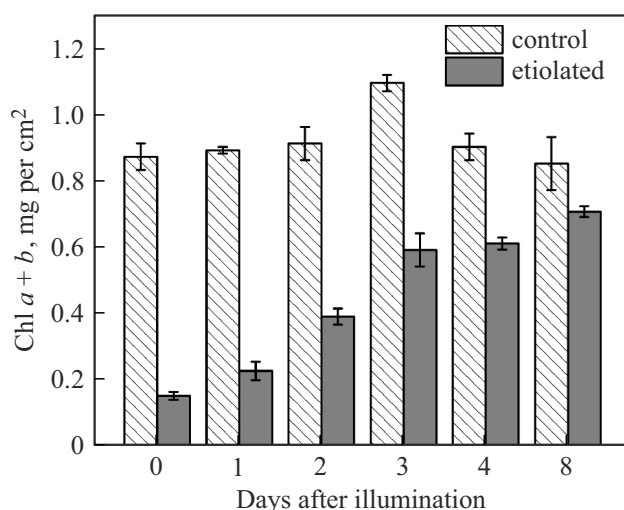


Рис. 2. Зависимость содержания хлорофилла (mg на 1 см² листовой пластинки) от времени, прошедшего с начала освещения этиолированных листьев (контроль — растения, выращенные в условиях естественного освещения).

Основным источником флуоресценции хлорофилла a в листьях растений (80% и выше) являются свето-сбирающие комплексы фотосистемы 2 (ФС2) [11,17]. Максимальный уровень флуоресценции F_m определяли при освещении листа насыщающей вспышкой света ($\lambda = 630 \text{ nm}$, $\tau = 0.5 \text{ ms}$, $I = 3400 \mu\text{E}/(\text{m}^2\text{s})$). Индуцированные изменения флуоресценции хлорофилла a регистрировали после включения непрерывного действующего света ($\lambda = 455 \text{ nm}$, $I = 500 \mu\text{E}/(\text{m}^2\text{s})$). Насыщающие вспышки света, подаваемые на фоне непрерывного света, следовали с интервалом в 20 s. В качестве параметров флуоресценции определяли отношения $F_V/F_m = (F_m - F_0)/F_m$ фотохимических превращений в ФС2) и $\Phi_{PSII} = (F'_m - F)/F'_m$ (характеризует эффективный квантовый выход фотохимических превращений в ФС2 в момент подачи насыщающей вспышки света). Параметр $NPQ = (F_m - F'_m)/F'_m$ характеризует коэффициент нефотохимического тушения флуоресценции.

Приведены значения флуоресцентных показателей и содержания хлорофилла, усредненные для серии из четырех образцов. Также для каждого использованного показателя вычисляли выборочное стандартное отклонение среднего арифметического.

О светоиндуцированном окислении центров P_{700} в листьях судили по разности поглощения света на длинах волн 870 и 830 nm (оптический сигнал $\Delta A_{870-830}$) согласно методике, описанной ранее [15].

Содержание хлорофилла в листьях растений определяли, используя ацетоновые вытяжки, по методике, описанной в [18].

2. Результаты и обсуждение

Этиолированные проростки бобов, выращенные в условиях затенения, существенно отличались по внеш-

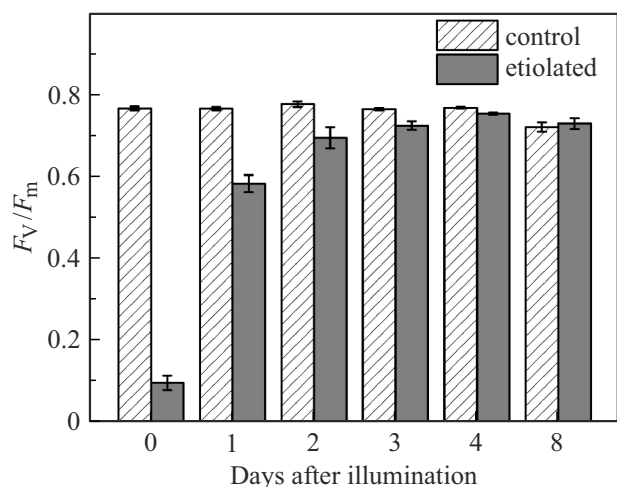


Рис. 3. Зависимость показателя $F_v/F_m = (F_m - F_0)/F_m$ от времени, прошедшего с начала освещения этиолированных листьев (контроль — растения, выращенные в условиях естественного освещения).

нему виду от проростков, выращенных на свету. Они имели удлиненные стебли и тонкие вытянутые листья с бледно-зеленой окраской и низким содержанием хлорофилла. После перемещения этих проростков в условия повышенной освещенности содержание хлорофилла постепенно увеличивалось, причем как в расчете на биомассу растений, так и на площадь листовой пластиинки (рис. 2). Наряду с увеличением содержания хлорофилла наблюдалось постепенное увеличение показателя $F_v/F_m = (F_m - F_0)/F_m$ — отношения переменной флуоресценции $F_m - F_0$ к максимальной F_m (рис. 3). Этот показатель характеризует эффективность использования света в ФС2 [17,19] или, по-другому, максимальный квантовый выход фотохимических превращений в ФС2 [10]. Действительно, выход флуоресценции хлорофилла во время действия вспышек кратковременного измерительного света зависит от состояния ФСА: он минимальен, когда реакционные центры (РЦ) активны („открыты“) и могут захватить энергию возбуждения из пигментной матрицы, и максимальен, когда РЦ неактивны („закрыты“). Таким образом, увеличение выхода флуоресценции при „закрывании“ РЦ характеризует ту часть световой энергии, которая использовалась в первичных реакциях фотосинтеза при „открытых“ РЦ [20]. Постепенный рост показателя F_v/F_m в первую неделю после начала освещения этиолированных проростков отражает увеличение активности ФС2, которая, как известно, формируется позже ФС1 [5].

О возрастании активности ФС2 в процессе деэтиолации листьев свидетельствуют кинетические кривые показателя $\Phi_{PSII} = (F'_m - F)/F'_m$, характеризующего изменения квантового выхода фотохимических превращений ФС2 после включения действующего света (рис. 4). Действующий (актиничный) свет имеет достаточно высокую интенсивность, что влияет на процессы фотосинтеза и изменять состояние фотосинтетического аппарата.

У контрольных растений стационарные значения Φ_{PSII} в течение всего периода измерений практически не изменялись, а у опытных монотонно возрастили аналогично росту содержания хлорофилла и показателю F_v/F_m (рис. 5). Можно считать, что увеличение значений Φ_{PSII} свидетельствует о повышении фотосинтетической активности в целом. Это согласуется с данными работы [21], в которой предполагается пропорциональная зависимость между квантовым выходом фиксации CO₂ и стационарными значениями Φ_{PSII} , наблюдавшаяся на ряде объектов в определенных экспериментальных условиях.

Тушение флуоресценции хлорофилла *a* по мере освещения непрерывно действующим светом (рис. 1) обычно подразделяют на фото- и нефотохимическое тушение [9,10,22]. Фотохимическое тушение флуоресценции связано с изменением окислительно-восстановительного состояния акцепторов электронов ФС2 [23]. Нефотохимическое тушение хлорофилла *a*, входящего в состав ФС2, связано, во-первых, с образованием трансмембранный разности концентрации протонов (ΔpH) на мемbrane (так называемое энергетическое тушение) и, во-вторых, с перераспределением энергии поглощаемого света в пользу ФС1 (переходы „состояние 1“ – „состояние 2“) [9,10,24–26]. Считается, что такие переходы связаны с обратимым фосфорилированием мобильного светособирающего пигмент-белкового комплекса (ССК2) и его перемещением между участками мембраны с разным содержанием комплексов ФС1 и ФС2 [21,27,28]. Возрастание флуоресценции, измеряемой в момент подачи вспышек измерительного света насыщающей вспышки, а также пониженные значения уровня флуоресценции (F'_m), показанное на рис. 1, отражение таких явлений, как фотохимическое и нефотохимическое тушение флуоресценции хлорофилла *a* (см. подробнее [15]).

До 4-го дня деэтиолации кинетические кривые для NPQ (коэффициент нефотохимического тушения флуоресценции) имели ярко выраженный аномальный характер, свидетельствующий о недостаточно развитом фотосинтетическом аппарате: пониженные значения NPQ и замедленное (более 15 min) достижение стационарного уровня (рис. 6). Немонотонный характер кинетических кривых, как предполагается, связан с формированием ΔpH на мемbrane тилакоидов в начале освещения и последующим уменьшением ΔpH за счет прогрессирующего синтеза АТФ [29–31]. Стационарные значения параметров NPQ и Φ_{PSII} постепенно возрастают по мере деэтиолирования листьев, что отражает увеличение фотосинтетической активности проростков и формирование регуляторных механизмов, обеспечивающих оптимизацию фотосинтетических процессов.

В дополнение к флуоресцентным методам неинвазивной диагностики формирования ФСА могут служить оптические методы, основанные на измерениях поглощения света светособирающими пигментами, входящими в состав ФСА. В качестве примера рассмотрим данные опытов по измерениям кинетики светоиндуцированного

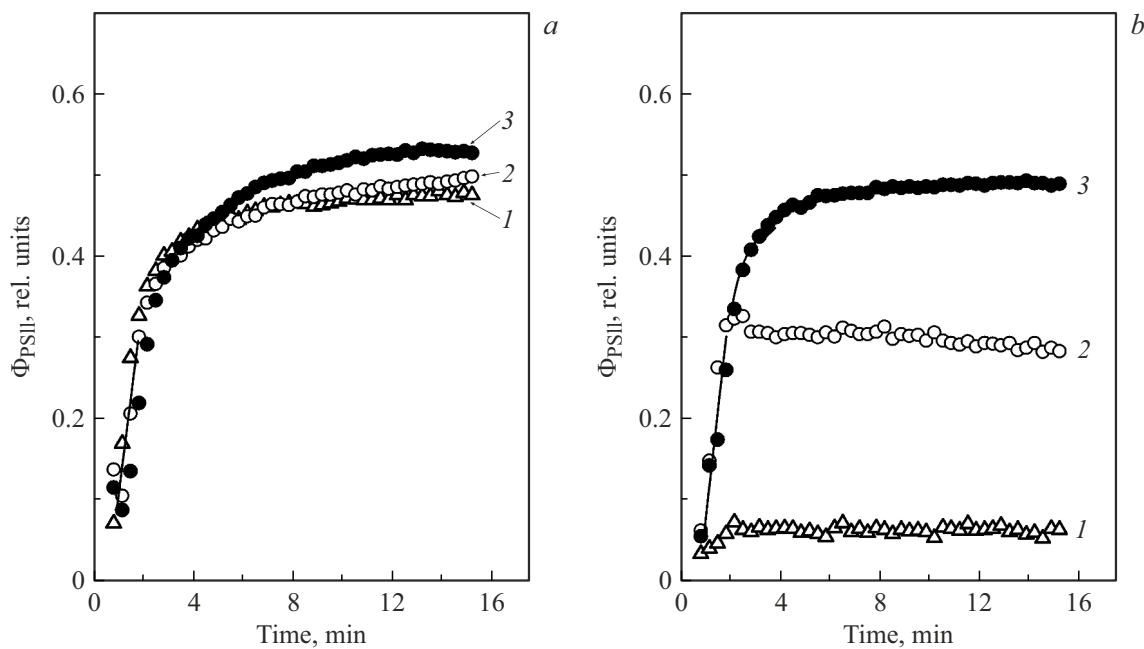


Рис. 4. Характерные кривые изменения показателя Φ_{PSII} листьев бобов, выращенных при естественной освещенности (a) и в затенении (b). Кривые зарегистрированы: сразу после перемещения этиолированных образцов в условия естественного освещения (1), 1 сутки спустя (2), 4 суток спустя (3).

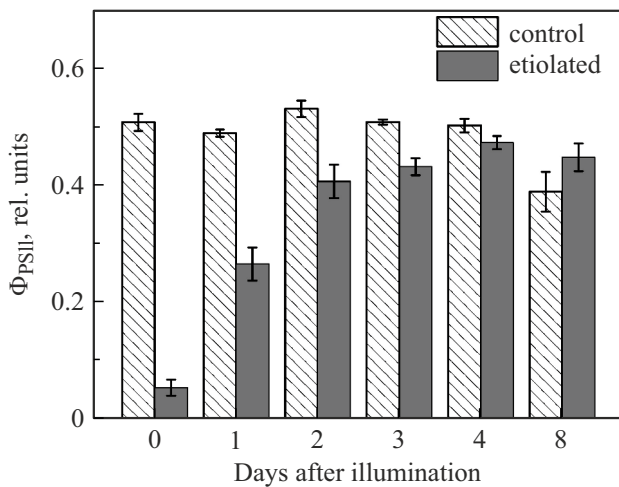


Рис. 5. Зависимость показателя $\Phi_{PSII} = (F' - F)/F'$ от времени, прошедшего с начала освещения этиолированных листьев (контроль — растения, выращенные в условиях естественного освещения).

окисления реакционных центров P_{700} . Об окислении P_{700} судили по измерениям разностного сигнала $\Delta A_{870-830}$, представляющего собой разность поглощения света, измеренного при длинах волн 870 и 830 нм (см. подробнее [15]). Амплитуда сигнала $\Delta A_{870-830}$ пропорционально количеству окисленных центров P_{700+} . На рис. 7, a показана типичная кривая светоиндуцированных изменений величины разностного сигнала $\Delta A_{870-830}$ в контрольном образце после включения непрерывного

красного света ($\lambda_{\text{макс}} = 635$ нм, свет λ_{635}), эффективно возбуждающего обе фотосистемы, и дальнего красного света ($\lambda_{\text{макс}} = 720$ нм, свет λ_{720}), возбуждающего преимущественно ФС1. В листьях, адаптированных к темноте в течение 5 мин, в ответ на включение красного света наблюдается рост сигнала $\Delta A_{870-830}$ к стационарному уровню, обусловленный фотоокислением центров P_{700} . Рост сигнала происходит после некоторой задержки, которая объясняется тем, что после адаптации листа к темноте цикл Кальвина–Бенсона (ЦКБ) неактивен. В этом случае отток электронов от ФС1 ограничен из-за низкого потребления NADPH — восстановленного конечного акцептора электронов в ФС1 [32]. По мере освещения хлоропластов красным светом (λ_{635}) происходит активация ферментов ЦКБ, скорость оттока электронов от ФС1 возрастает, в результате наблюдается заметное окисление P_{700} . После выключения света наблюдается сравнительно быстрое восстановление P_{700+} (время полуспада сигнала от P_{700+} составляет $t_{1/2} \sim 20-30$ мс). Это происходит за счет восстановленных молекул пластихионола (PQH_2), образовавшихся во время действия света λ_{635} , возбуждающего ФС2. Следующее за этим включение дальнего красного света (ДКС, λ_{720}), возбуждающего преимущественно ФС1, приводит к сравнительно быстрому росту сигнала от P_{700+} . При этом спад сигнала $\Delta A_{870-830}$ в темноте замедляется ($t_{1/2} \sim 1-3$ с), поскольку при действии ДКС ФС2 практически не возбуждается, и не восстанавливаются молекулы пластихионового пула.

В случае этиолированных листьев наблюдается иная картина (рис. 7, b). Индуцированный красным светом сигнал $\Delta A_{870-830}$, который можно приписать окислен-

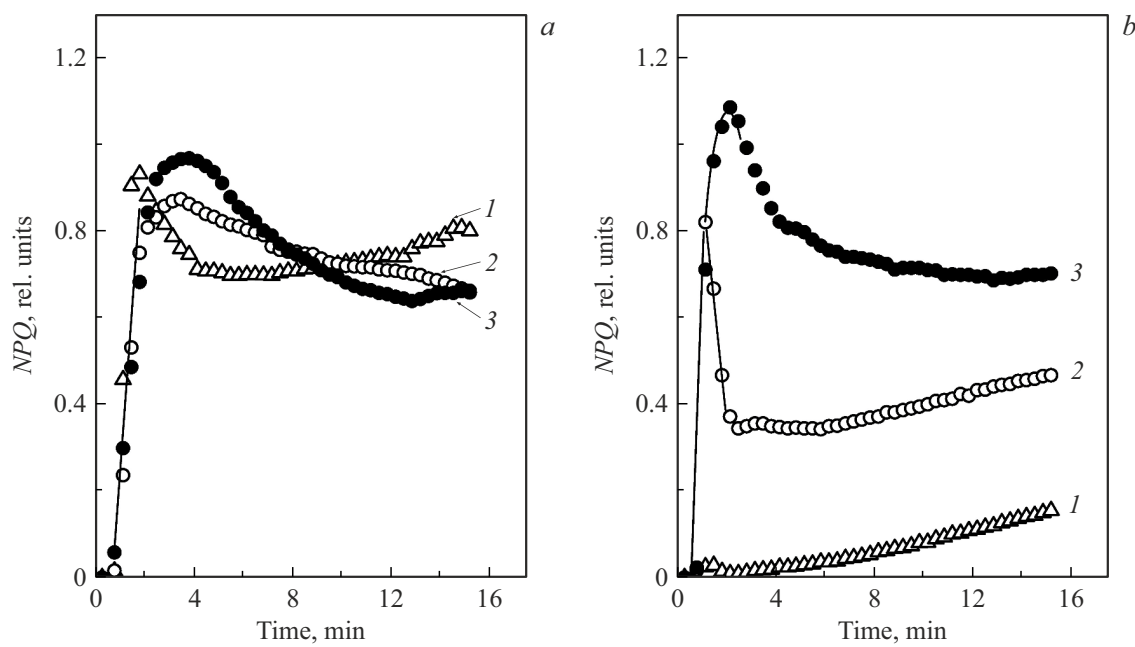


Рис. 6. Характерные кривые изменения показателя NPQ листьев бобов, выращенных при естественной освещенности (a) и в затенении (b). Кривые зарегистрированы сразу после перемещения этиолированных образцов в условия естественного освещения (1), 1 сутки спустя (2), 4 суток спустя (3).

ным центрам P_{700+} , заметно ниже, чем в контрольных образцах (рис. 7, a). В ответ на включение дальнего красного света, возбуждающего преимущественно ФС2, величина сигнала заметно ниже, чем в листьях контрольных растений. Эти различия объясняются тем, что в этиолированных листьях еще не сформировались реакционные центры ФС1. И только после достаточно длительной экспозиции растений к световым условиям (несколько суток) появляется сигнал, свидетельствующий о формировании ФС1.

Заключение

В настоящей работе на примере листьев бобов (*Vicia faba* L., сорт „Русские черные“), показано, как по оптическим показателям листьев растений, измеряемым по кинетике выхода флуоресценции хлорофилла *a* и по поглощению света фотопрекурсорами центрами P_{700} , можно диагностировать состояние ФСА и следить за формированием активных хлоропластов *in situ* в ходе дезиолиривания листьев. Важной особенностью этих методов диагностики является то, что они являются неинвазивными: для оценки функционального состояния ФСА не требуется выделять из листьев хлороплазты (или их компоненты). Таким образом, инструментальными средствами, по оптическим свойствам листьев, можно осуществлять долгосрочный мониторинг функционирования ФСА растений *in situ* на различных стадиях их культивирования.

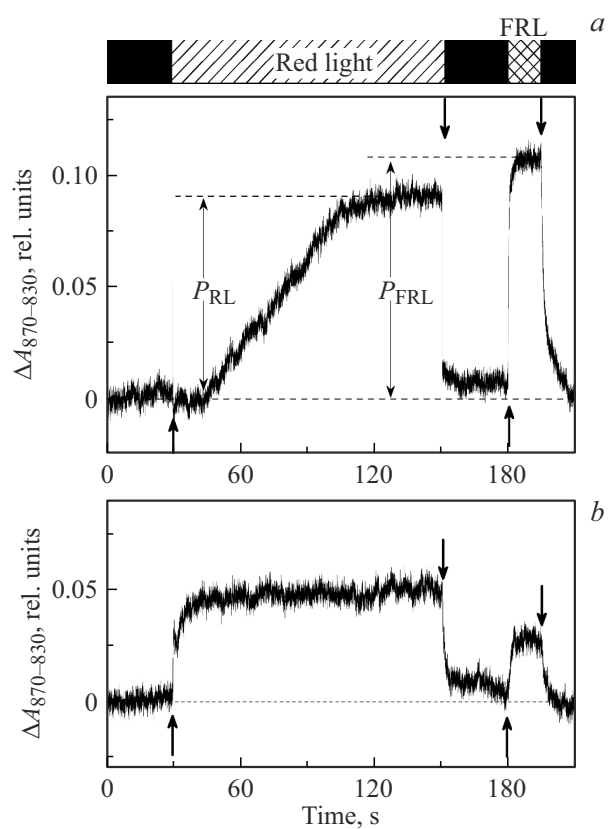


Рис. 7. Типичные кривые светоиндуцированных изменений величины разностного сигнала поглощения света, измеряемого при 870 и 830 нм (сигнал $\Delta A_{870-830}$) в контролльном образце (a) и этиолированном листе (b).

Финансирование работы

Работа проводилась в рамках темы научно-исследовательских работ физического факультета МГУ имени М.В. Ломоносова „Физические основы строения, функционирования и регуляции биологических систем“ (Госрегистрация № 012004 085 35) и при частичной финансовой поддержке фонда „Вольное дело“.

Конфликт интересов

Авторы заявляют об отсутствии конфликта интересов.

Список литературы

- [1] В.В. Кузнецов, Н.В. Кудрякова, М.Н. Данилова. Физиология растений, **67** (6), 563 (2020). DOI: 10.31857/S001533032006010X
- [2] Д. Эдвардс, Д. Уокер. Фотосинтез C_3 - и C_4 -растений: механизмы и регуляция (Мир, М., 1986) [G.E. Edwards, D.A. Walker. C_3 , C_4 , mechanisms, and cellular and environmental regulation of photosynthesis (Blackwell Scientific Publications, 1983)].
- [3] С.В. Конев, И.Д. Волотовский. Фотобиология, изд. 2-е (БГУ, Минск, 1979).
- [4] B.V. Buchanan. Ann. Rev. Plant Physiol., **31**, 341 (1980). DOI: 10.1146/annurev.pp.31.060180.002013
- [5] В.Ф. Гавриленко, М.В. Гусев, К.А. Никитина, П. Хоффманн. Избранные главы физиологии растений (МГУ, М., 1986).
- [6] R.E. Blankenship. Molecular mechanisms of photosynthesis (Blackwell Science Inc., Malden, MA, 2002).
- [7] S. Matsubara, B. Förster, M. Waterman, S.A. Robinson, B.J. Pogson, B. Gunning, B. Osmond. Phil. Trans. R. Soc. B: Biol. Sciences, **367** (1608), 3503 (2012). DOI: 10.1098/rstb.2012.0072
- [8] Z. Li, S. Wakao, B.B. Fischer, K.K. Niyogi. Ann. Rev. Plant Biol., **60** (1), 239 (2009). DOI: 10.1146/annurev.arplant.58.032806.103844
- [9] G.H. Krause, E. Weis. Annu. Rev. Plant Physiol. Plant Molec. Biol., **42**, 313 (1991). DOI: 10.1146/annurev.pp.42.060191.001525
- [10] D. Lazar. Biochim. Biophys. Acta, **1412** (1), 1 (1999). DOI: 10.1016/s0005-2728(99)00047-x
- [11] Chlorophyll *a* fluorescence: a signature of photosynthesis, ed. by G.C. Papageorgiou (Springer, Dordrecht, 2004). DOI: 10.1007/978-1-4020-3218-9
- [12] N.R. Baker. Annu. Rev. Plant Biol., **59**, 89 (2008). DOI: 10.1146/annurev.arplant.59.032607.092759
- [13] K. Maxwell, G.N. Johnson. Exp. Botany, **51** (345), 659 (2000). DOI: 10.1093/jexbot/51.345.659
- [14] B. Demmig-Adams, C.M. Cooh, O. Muller, W.W. Adams. Photosynth. Res., **113** (1–3), 75 (2012). DOI: 10.1007/s11120-012-9761-6
- [15] I.S. Suslichenko, B.V. Trubitsin, A.V. Vershubskii, A.N. Tikhonov. Plant Physiol. Biochem., **185**, 233 (2022). DOI: 10.1016/j.plaphy.2022.06.002
- [16] М.А. Беньков, И.С. Сусличенко, Б.В. Трубицин, А.Н. Тихонов. Биол. мембранны., **40** (3), 172 (2023). DOI: 10.31857/S0233475523030039
- [17] H.M. Kalaji, G. Schansker, M. Bresic et al. Photosynth. Res., **132**, 13 (2017). DOI: 10.1007/s11120-016-0318-y
- [18] Малый практикум по физиологии растений, под ред. М.В. Гусева (МГУ, М., 1982).
- [19] П.С. Венедиктов, С.Л. Волгин, Ю.В. Казимирко и др. Биофизика, **44**, 1037 (1999).
- [20] B. Genty, J.-M. Briantais, N.R. Baker. Biochim. Biophys. Acta, **990**, 87 (1989). DOI: 10.1016/S0304-4165(89)80016-9
- [21] J.F. Allen. Biochim. Biophys. Acta, **1098**, 275 (1992). DOI: 10.1016/s0005-2728(09)91014-3
- [22] A.N. Tikhonov. Photosynth. Res., **116**, 511 (2013). DOI: 10.1007/s11120-013-9845-y
- [23] G. Schansker, S. Tóth, A.R. Holzwart, G. Garab. Photosynth. Res., **128**, 43 (2014). DOI: 10.1007/s11120-013-9806-5
- [24] E.H. Murchie, A.V. Ruban. The Plant J., **101**, 885 (2020). DOI: 10.1111/tpj.14601
- [25] J. Zaks, K. Amarnath, E.J. Sylak-Glassman, G.R. Fleming. Photosynth. Res., **116**, 389 (2013). DOI: 10.1007/s11120-013-9857-7
- [26] X.-P. Li, A.M. Gilmore, S. Caffarri, R. Bassi, T. Golan, D. Kramer, K.K. Niyogi. J. Biol. Chem., **279** (22), 22866 (2004). DOI: 10.1074/jbc.M402461200
- [27] J. Minagawa. Biochim. Biophys. Acta, **1807**, 897 (2011). DOI: 10.1016/j.bbabi.2010.11.005
- [28] M. Tikkanen, E.-M. Aro. Biochim. Biophys. Acta, **1817**, 232 (2012). DOI: 10.1016/j.bbabi.2011.05.005
- [29] L.A. Malone, M.S. Proctor, A. Hitchcock, C.N. Hunter, M.P. Johnson. Biochim. Biophys. Acta., **1862** (5), 148380 (2021). DOI: 10.1016/j.bbabi.2021.148380
- [30] А.Н. Тихонов. Биохимия, 88 (10), **1742** (2023). DOI: 10.31857/S0320972523100032
- [31] A.N. Tikhonov. Photosynth. Res., **159**, 203 (2024). DOI: 10.1007/s11120-023-01034-w
- [32] M. Kono, I. Terashima. J. Photochem. Photobiol. B: Biology, **137**, 89 (2014). DOI: 10.1016/j.jphotobiol.2014.02.016